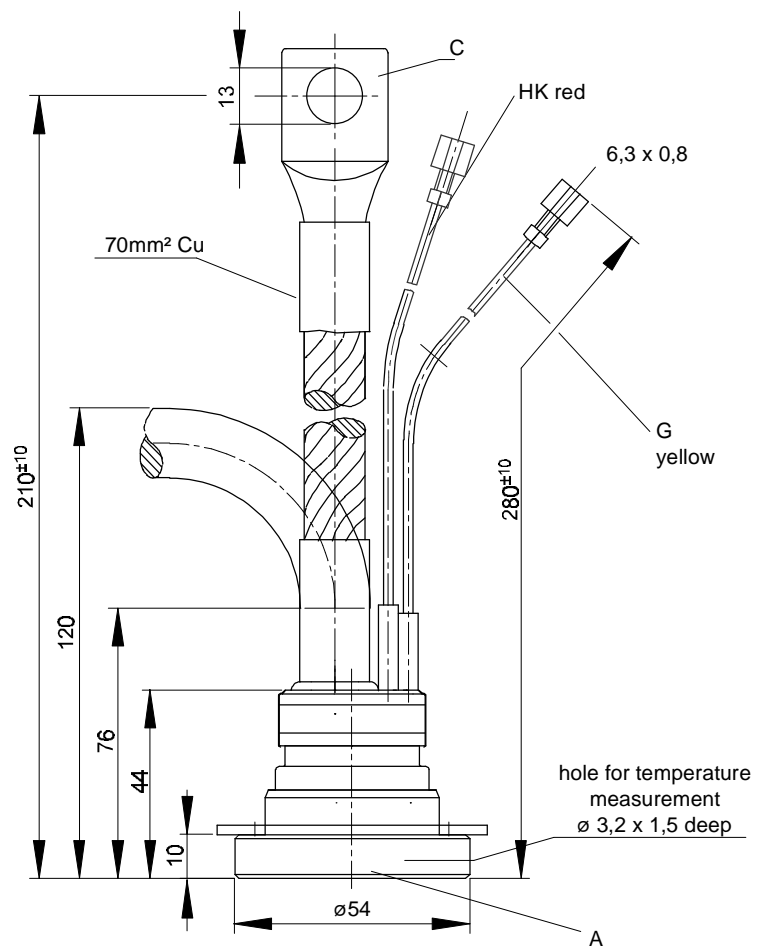


European Power-  
Semiconductor and  
Electronics Company

## Marketing Information T 271 N



# T 271 N

## Elektrische Eigenschaften

### Höchstzulässige Werte

Periodische Vorwärts- und Rückwärts-Spitzenperrspannung

Vorwärts-Stoßspitzenperrspannung

Rückwärts-Stoßspitzenperrspannung

Durchlaßstrom-Grenzeffektivwert

Dauergrenzstrom

Stoßstrom-Grenzwert

Grenzlastintegral

Kritische Stromsteilheit

Kritische Spannungssteilheit

## Electrical properties

### Maximum rated values

repetitive peak forward off-state and reverse voltages

$$t_{vj} = -40^\circ\text{C} \dots t_{vj \max}$$

$V_{DRM}, V_{RRM}$  2000 2200 2400  
2500 V

non-repetitive peak forward off-state voltage

$$t_{vj} = -40^\circ\text{C} \dots t_{vj \max}$$

$V_{DSM} = V_{DRM}$  2000 2200 2400  
2500 V

non-repetitive peak reverse voltage

$$t_{vj} = +25^\circ\text{C} \dots t_{vj \max}$$

$V_{RSM} = V_{RRM}$  2100 2300 2500  
2600 V

RMS on-state current

average on-state current

$$t_c = 85^\circ\text{C}$$

$I_{TRMSM}$  650 A

$$t_c = 52^\circ\text{C}$$

$I_{TAVM}$  270 A

$$t_c = 25^\circ\text{C}, t_p = 10 \text{ ms}$$

414 A

$$t_{vj} = t_{vj \max}, t_p = 10 \text{ ms}$$

7500 A

$$t_{vj} = 25^\circ\text{C}, t_p = 10 \text{ ms}$$

7000 A

$$t_{vj} = t_{vj \max}, t_p = 10 \text{ ms}$$

281000 A<sup>2</sup>s

$$t_{vj} = t_{vj \max}, t_p = 10 \text{ ms}$$

245000 A<sup>2</sup>s

$I^2 t$ -value

$$t_{vj} = 25^\circ\text{C}, t_p = 10 \text{ ms}$$

$$t_{vj} = t_{vj \max}, t_p = 10 \text{ ms}$$

60 A/ $\mu$ s

critical rate of rise of on-state current

$$V_D \leq 67\%, V_{DRM}, f = 50 \text{ Hz}$$

$$f = 50 \text{ Hz}, i_{GM} = 1 \text{ A}, di_G/dt = 1 \text{ A}/\mu\text{s}$$

(di<sub>T</sub>/dt)<sub>cr</sub>

critical rate of rise of off-state voltage

$$t_{vj} = t_{vj \max}, V_D = 67\% V_{DRM}$$

500 V/ $\mu$ s

$$5. \text{ Kennbuchstabe/5th letter C}$$

1000 V/ $\mu$ s

$$5. \text{ Kennbuchstabe/5th letter F}$$

## Charakteristische Werte

Durchlaßspannung

Schleusenspannung

Ersatzwiderstand

Zündstrom

Zündspannung

Nicht zündender Steuerstrom

Nicht zündende Steuerspannung

Haltestrom

Einraststrom

Vorwärts- und Rückwärts-Sperrstrom

Zündverzug

Freiwerdezeit

## Characteristic values

on-state voltage

$$t_{vj} = t_{vj \max}, i_T = 400 \text{ A}$$

$V_T$  max. 2,35 V

threshold voltage

$$t_{vj} = t_{vj \max}$$

$V_{T(TO)}$  1,07 V

slope resistance

$$t_{vj} = t_{vj \max}$$

$r_T$  0,87 m $\Omega$

gate trigger current

$$t_{vj} = 25^\circ\text{C}, V_D = 6 \text{ V}$$

$I_{GT}$  max. 250 mA

gate trigger voltage

$$t_{vj} = 25^\circ\text{C}, V_D = 6 \text{ V}$$

$V_{GT}$  max. 1,5 V

gate non-trigger current

$$t_{vj} = t_{vj \max}, V_D = 6 \text{ V}$$

$I_{GD}$  max. 20 mA

$$t_{vj} = t_{vj \max}, V_D = 0,5 V_{DRM}$$

max. 10 mA

gate non-trigger voltage

$$t_{vj} = t_{vj \max}, V_D = 0,5 V_{DRM}$$

$V_{GD}$  max. 0,4 V

holding current

$$t_{vj} = 25^\circ\text{C}, V_D = 12 \text{ V}, R_A = 5,6 \Omega$$

$I_H$  max. 250 mA

latching current

$$t_{vj} = 25^\circ\text{C}, V_D = 12 \text{ V}, R_{GK} > 10 \Omega$$

$I_L$  max. 1500 mA

$$i_{GM} = 1 \text{ A}, di_G/dt = 1 \text{ A}/\mu\text{s}, t_g = 20 \mu\text{s}$$

$i_D, i_R$  max. 50 mA

forward off-state and reverse currents

$$t_{vj} = t_{vj \max}, V_D = V_{DRM}, V_R = V_{RRM}$$

$t_{gd}$  max. 2,2  $\mu$ s

gate controlled delay time

$$t_{vj} = 25^\circ\text{C}, i_{GM} = 1 \text{ A}, di_G/dt = 1 \text{ A}/\mu\text{s}$$

$t_q$  typ. 300  $\mu$ s

circuit commutated turn-off time

siehe Techn. Erl./see Techn. Inf.

## Thermische Eigenschaften

Innerer Wärmewiderstand

## Thermal properties

thermal resistance, junction to case

$$\Theta = 180^\circ \text{ el. sin}$$

$R_{thJC}$  max. 0,091 °C/W

$$\Theta = 180^\circ \text{ DC}$$

max. 0,085 °C/W

Übergangs-Wärmewiderstand

$R_{thCK}$  max. 0,02 °C/W

Höchstzul. Sperrsichttemperatur

$t_{vj \max}$  125 °C

Betriebstemperatur

$t_{c op}$  -40...+125 °C

Lagertemperatur

$t_{stg}$  -40...+150 °C

## Mechanische Eigenschaften

## Mechanical properties

Si-Elemente mit Druckkontakt

Si-pellet with pressure contact

$$\Theta = 180^\circ \text{ el. sin}$$

$R_{thJC}$  max. 0,091 °C/W

Anzugsdrehmoment

$M$  60 Nm

tightening torque

$G$  typ. 600 g

Gewicht, Bauform E

12 mm

weight, case design E

C

Kriechstrecke

creepage distance

50 m/s<sup>2</sup>

Feuchteklassse

humidity classification

DIN 40040

50 m/s<sup>2</sup>

Schwingfestigkeit

vibration resistance

f = 50 Hz

Maßbild, anliegend

outline, attached

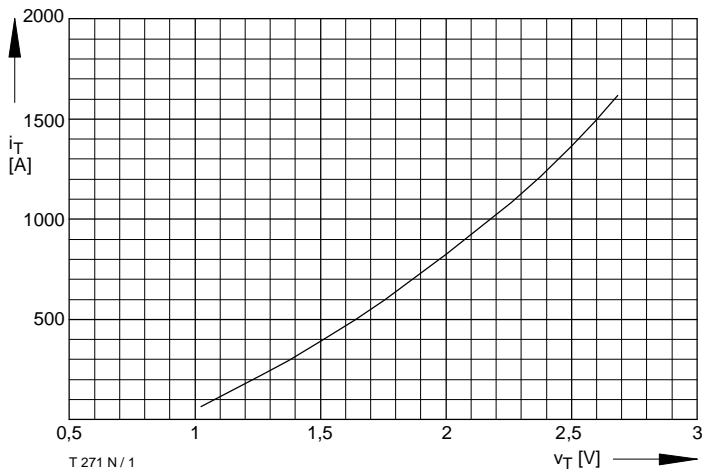


Bild / Fig. 1  
Grenzdurchlaßkennlinie / Limiting on-state characteristic  
 $i_T = f(v_T)$ ,  $t_{vj} = t_{vj \max}$

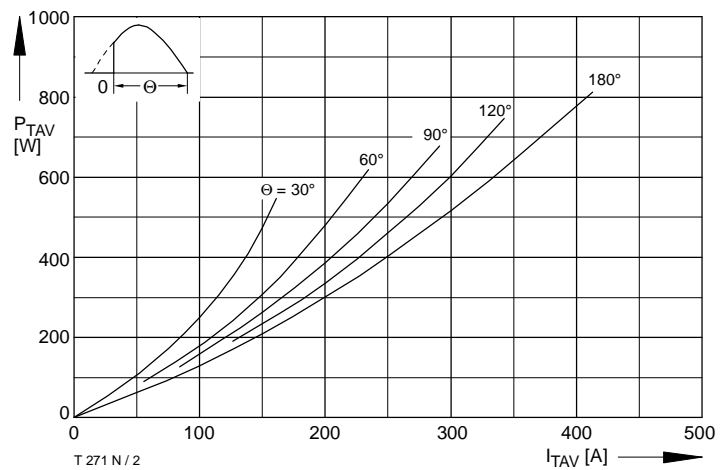


Bild / Fig. 2  
Durchlaßverlustleistung / On-state power loss  $P_{TAV} = f(I_{TAV})$   
Parameter: Stromflußwinkel / Current conduction angle  $\theta$

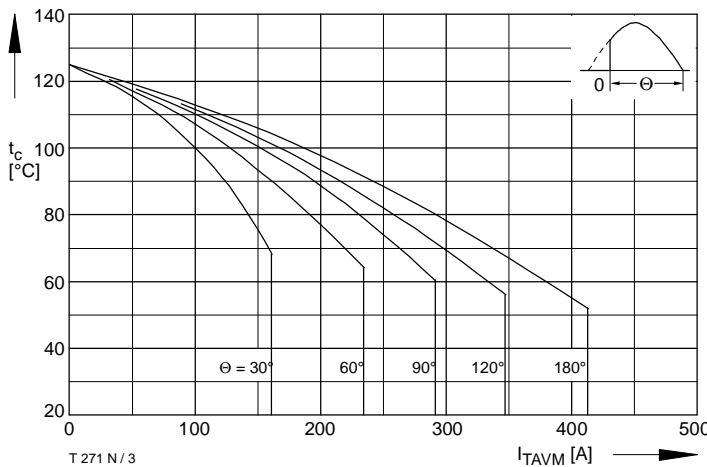


Bild / Fig. 3  
Höchstzulässige Gehäusetemperatur / Max. allowable case temperature  
 $t_c = f(I_{TAVM})$   
Parameter: Stromflußwinkel / Current conduction angle  $\theta$

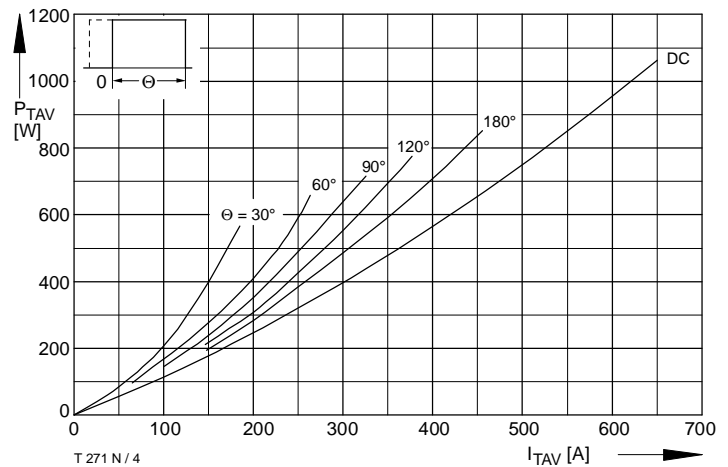


Bild / Fig. 4  
Durchlaßverlustleistung / On-state power loss  $P_{TAV} = f(I_{TAV})$   
Parameter: Stromflußwinkel / Current conduction angle  $\theta$

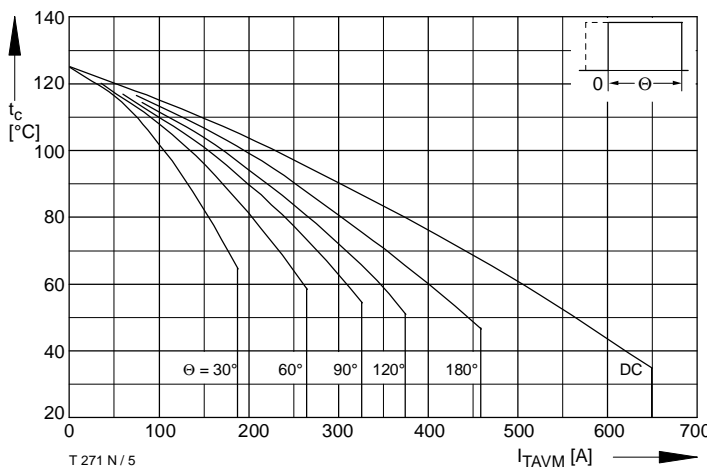


Bild / Fig. 5  
Höchstzulässige Gehäusetemperatur / Max. allowable case temperature  
 $t_c = f(I_{TAVM})$   
Parameter: Stromflußwinkel / Current conduction angle  $\theta$

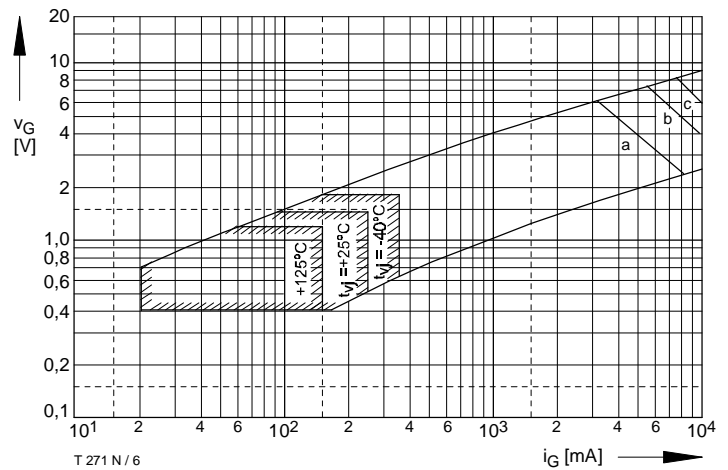


Bild / Fig. 6  
Steuercharakteristik mit Zündbereichen / Gate characteristic with triggering areas  $V_G = f(i_G)$ ,  $V_D = 6 \text{ V}$   
Parameter:  
a      b      c  
Steuerimpulsdauer / trigger puls duration  $t_g$  [ms]    10    1    0,5  
Höchstzulässige Spitzensteuerverlustleistung /  
Max. rated peak gate power dissipation [W]    20    40    60

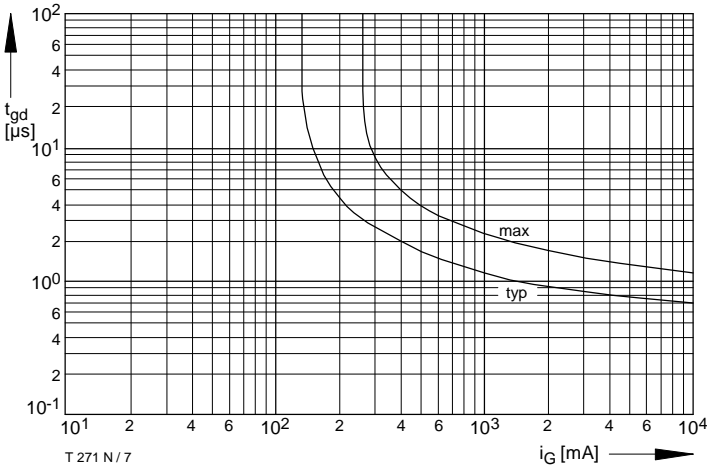


Bild / Fig. 7  
Zündverzug / Gate controlled delay time  $t_{gd} = f(i_G)$   
 $t_{vj} = 25^\circ\text{C}$ ,  $di_G/dt = i_{GM}/1\mu\text{s}$

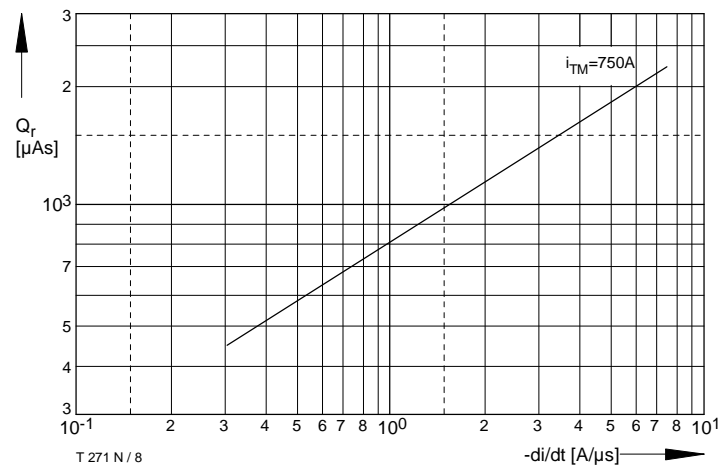


Bild / Fig. 8  
Sperrverzögerungsladung / Recovered charge  $Q_r = f(di/dt)$   
 $t_{vj} = t_{vj} \text{ max}$ ;  $V_R = 0,5 V_{RRM}$ ;  $V_{RM} = 0,8 V_{RRM}$   
Parameter: Durchlaßstrom / On-state current  $i_{TM}$

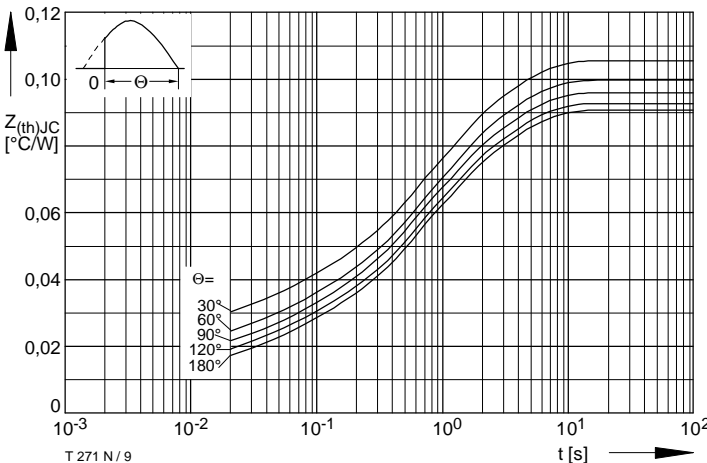


Bild / Fig. 9  
Transienter innerer Wärmewiderstand / Transient thermal impedance  
 $Z_{thJC} = f(t)$   
Parameter: Stromflußwinkel / current conduction angle  $\theta$

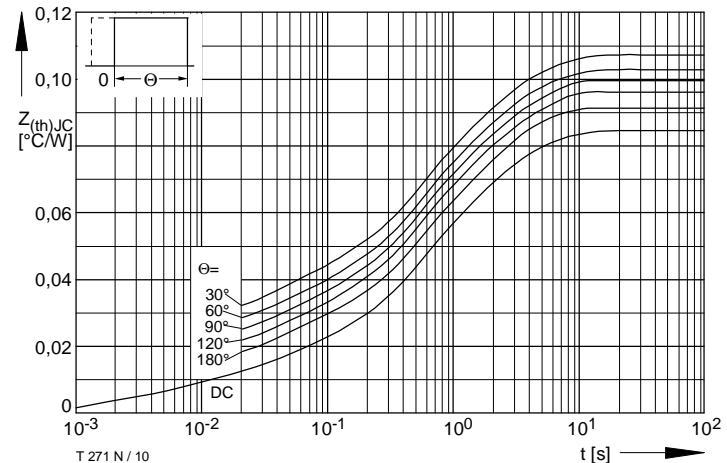


Bild / Fig. 10  
Transienter innerer Wärmewiderstand / Transient thermal impedance  
 $Z_{thJC} = f(t)$   
Parameter: Stromflußwinkel / current conduction angle  $\theta$

Analytische Elemente des transienten Wärmewiderstandes  $Z_{thJC}$  pro Zweig für DC  
Analytical elements of transient thermal impedance  $Z_{thJC}$  per arm for DC

Pos. n	1	2	3	4	5
$R_{thn} [^\circ\text{C}/\text{W}]$	0,00008	0,0071	0,0104	0,038	0,0294
$\tau_n [\text{s}]$	0,0004	0,0046	0,052	0,595	2,98

Analytische Funktion / Analytical function:

$$Z_{thJC} = \sum_{n=1}^{n_{\max}} R_{thn} (1 - e^{-\frac{t}{\tau_n}})$$